

- β. Flächen einer Achse parallel.
1. Prismen erster Art  $\{okl\}$ . Fig. 114.
  2. Prismen zweiter Art  $\{hol\}$ . Fig. 115.
  3. Prismen dritter Art  $\{hko\}$ . Fig. 116.
- γ. Flächen keiner Achse parallel.
4. Bipyramiden  $\{hkl\}$ . Fig. 117.

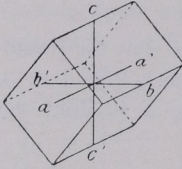


Fig. 114.  
Ein Prisma 1. Art.

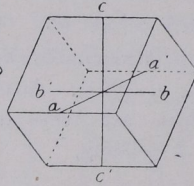


Fig. 115.  
Ein Prisma 2. Art.

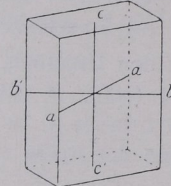


Fig. 116.  
Ein Prisma 3. Art.

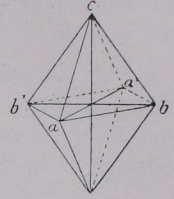


Fig. 117.  
Eine rhombische Bipyramide.

II. Pyramidale Klasse. 4. Stufe. Erzeugende Symmetrie  $2d$  (digyrisch domatisch) Fig. 118. Volle Symmetrie Fig. 119.  $c$ -Achse heteropolar; Hemimorphismus. Entsprechend Fig. 119 sind die sieben Gestaltstypen aus den sieben Punktlagen  $A, B, C, 1, 2, 3, 4$  des Urbauteils der Fig. 108 abzuleiten.

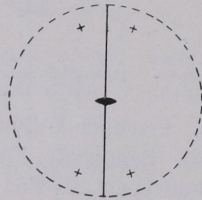


Fig. 118. Erzeugende Symmetrie der rhombisch-pyramidalen Klasse ( $2d$ ).

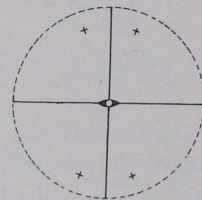


Fig. 119. Allgemeines rhombisch-pyramidales Bauschema.

- A. Erstes Pinakoid  $\{100\}$ .
- B. Zweites Pinakoid  $\{010\}$ .
- C. Dritte Pedien  $\{001\}$  und  $\{00\bar{1}\}$ .
1. Domen erster Art  $\{okl\}$  und  $\{ok\bar{l}\}$ .
2. Domen zweiter Art  $\{hol\}$  und  $\{ho\bar{l}\}$ .
3. Prismen dritter Art  $\{hko\}$ .
4. Pyramiden  $\{hkl\}$  und  $\{hk\bar{l}\}$ .

III. Bisphenoidische Klasse. 3. Stufe. Erzeugende Symmetrie.  $2s$  (digyrisch sphenoidisch) Fig. 120. Volle Symmetrie Fig. 121. Sieben Gestaltstypen entsprechend Fig. 121 und 108.